

مسئله‌ی بهینه‌سازی مقید پذیرش و زمان‌بندی سفارشات دو عاملی با هدف بیشینه‌سازی مجموع سود

محمد رئیسی‌ناقصی (استادیار)

قاسم مصلحی* (استاد)

دانشکده‌ی مهندسی صنایع و سیستم‌ها، دانشگاه صنعتی اصفهان

مهندسی صنایع و مدیریت شریف، زمستان ۱۳۹۳ (دوره‌ی ۱ - شماره‌ی ۲، ص. ۸۷-۹۹)

در این مقاله مسئله‌ی پذیرش و زمان‌بندی سفارشات با مسئله‌ی زمان‌بندی دو عاملی ترکیب شده و یک مسئله‌ی کاربردی‌تر براساس نیازهای متفاوت مشتریان مورد بررسی قرار گرفته است. لذا فرض شده که دو دسته مشتری (عامل) وجود دارد و هدف بیشینه‌سازی مجموع سود سفارشات پذیرفته شده‌ی عامل اول به علاوه‌ی مجموع درآمد سفارشات پذیرفته شده‌ی عامل دوم است؛ به طوری که هیچ سفارشی از عامل دوم دیرکردار نداشته باشد. همچنین با این فرض که سفارش‌های عامل اول همگی دارای زمان پردازش یکسان هستند، نشان داده شده که این مسئله NP-hard است. در حالت معلوم بودن سفارشات پذیرفته شده، یک الگوریتم چندجمله‌یی برای تعیین توالی بهینه‌ی سفارشات ارائه شده و برای حل مسئله‌ی اصلی نیز یک الگوریتم ابتکاری و یک برنامه‌ریزی پویای شبه چندجمله‌یی توسعه داده شده است. نتایج نشان می‌دهد که ۹۳/۶۵٪ از مسائل تا ابعاد ۱۵۰ سفارش به صورت بهینه حل شده است.

واژگان کلیدی: پذیرش سفارش، زمان‌بندی، مغایرت زمان تکمیل و موعد تحویل، تعداد سفارش‌های دیرکردار، آنالیز واریانس.

reisi.m@cc.iut.ac.ir
moslehi@cc.iut.ac.ir

۱. مقدمه

نگاه در ادبیات موضوع زمان‌بندی تحت عنوان «زمان‌بندی چندعاملی (MAS)»^۱ یا «زمان‌بندی با عامل‌های رقابتی»^۲ مطرح شده و مورد توجه قرار گرفته است. لذا نوآوری این مقاله، پرداختن به این دو مسئله به طور همزمان است در حالی که در مطالعات قبلی این امر مشاهده نشده است. در ادامه، برخی از مطالعات صورت گرفته در حوزه‌ی پذیرش و زمان‌بندی سفارشات و مسئله‌ی زمان‌بندی چندعاملی به طور مختصر مرور شده است.

اسلاتنیک و مورتون^۱ مسئله‌ی پذیرش و زمان‌بندی سفارشات (OAS) را با هدف بیشینه‌سازی سود که برابر است با مجموع درآمد منهای جریمه‌های وزن‌دار مغایرت زمان تکمیل با موعد تحویل، مورد مطالعه قرار دادند. آنان شرایطی ارائه کردند که براساس آن، زیرمجموعه‌ی سفارش‌ها -- که قطعاً در جواب بهینه حضور دارند -- و زیرمجموعه‌ی سفارش‌ها -- که باید رد شوند -- تشخیص داده شوند. این خاصیت فضای جست‌وجو را کاهش می‌دهد. همچنین در این مطالعه یک الگوریتم شاخه و کران، یک الگوریتم جست‌وجوی شعاعی^۴ و یک الگوریتم ابتکاری حریصانه^۵ ارائه شده و کارایی آنها بر تعدادی مسئله‌ی نمونه بررسی شده است. در مطالعات بعدی^{۱۲} نشان داده شد که این مسئله NP-hard است و برای حل آن دو الگوریتم برنامه‌ریزی پویای شبه چندجمله‌یی با ساختاری ساده با هدف توسعه‌ی یک الگوی تقریب کاملاً چندجمله‌یی (FPTAS)^۶ ارائه شد.

در طول دو دهه‌ی گذشته تولیدکنندگان و نیز محققین اهمیت پذیرش سفارشات را درک کرده‌اند. تصمیم‌گیری در مورد رد یا پذیرش یک سفارش ممکن است دلایل مختلفی داشته باشد. برای مثال رویکرد استراتژیک شرکت در تمرکز بر بخشی از بازار یا ظرفیت منابع موجود می‌تواند دلیل رد برخی از سفارشات مشتریان باشد. در این میان تصمیم در مورد رد یا پذیرش سفارشات می‌تواند مبتنی بر موازنه بین هزینه‌های تولید و رد آن سفارش و درآمدهای ناشی از پذیرش آن باشد. بر این اساس، در ادبیات موضوع مطالعات متنوعی با در نظر گرفتن فرضیات مختلف روی این مسئله صورت گرفته است. در یک مقاله مروری، آخرین مطالعات انجام شده در زمینه‌ی پذیرش و زمان‌بندی سفارشات (OAS)^۱، دسته‌بندی شده^{۱۱} که برای مطالعه بیشتر می‌توان به آن رجوع کرد.

با مرور ادبیات موضوع در این حیطه، به نظر می‌رسد که تاکنون فرض بر این بوده که تولیدکننده فقط بر مبنای یک نوع قرارداد با مشتریان خود برخورد می‌کند. این فرض در شرایط بازار رقابتی امروز چندان کاربردی نیست. در این نوشتار سعی شده تا مسئله‌ی فوق با در نظر گرفتن تنوع مشتریان تعمیم داده شود. اخیراً این نوع

* نویسنده مسئول

تاریخ: دریافت ۱۳۹۲/۴/۸، اصلاحیه ۱۳۹۲/۷/۹، پذیرش ۱۳۹۲/۷/۲۷.

در ادامه‌ی بررسی‌ها^[۴] مسئله‌ی پذیرش و زمان بندی سفارش‌ها در حالت تک‌ماشین، با در نظر گرفتن جریمه‌ی دیرکرد وزنی بررسی شد که طی آن، یک الگوریتم شاخه و کران و چند الگوریتم ابتکاری برای حل مسئله ارائه شد. دیگر محققین نیز یک الگوریتم ژنتیک برای مسئله‌ی فوق توسعه دادند^[۵] که جواب‌های با کیفیت بیشتری نسبت به الگوریتم‌های ابتکاری پیشین تولید می‌کند. در مطالعات بعدی همین مسئله در حالتی بررسی شد که تعدادی سفارش پذیرفته شده از قبل و تعدادی سفارش در انتظار تصمیم وجود دارد.^[۶] در آن بررسی، دو مدل برنامه‌ریزی خطی عدد صحیح مختلط (MILP)^۷ و دو الگوریتم شاخه و کران ارائه شد. بررسی مسئله‌ی OAS با هدف بهینه‌سازی سود همراه با در نظر گرفتن هزینه‌های دیرکرد، کاهش زمان پردازش و توسعه‌ی افق زمان بندی مورد بررسی قرار گرفت.^[۷] محققین در آن مطالعه یک مدل MILP برای حل مسائل کوچک و تعدادی الگوریتم ابتکاری برای مسائل بزرگ ارائه کردند.

در مطالعه‌ی دیگر^[۸] فرض مجاز بودن اضافه‌کاری و مجاز نبودن تأخیر در محیط کارگاهی^۸ به منظور بهینه‌سازی سود حاصل از سفارش‌های پذیرفته شده در مسئله‌ی OAS مورد بررسی قرار گرفت. در مطالعه‌ی مذکور افق برنامه‌ریزی به تعدادی دوره زمانی تقسیم، و ورود سفارش‌ها در هر دوره ایستا فرض شد. تصمیم درمورد رد یا پذیرش هر سفارش نیز در ابتدای هر دوره صورت می‌گیرد. برای این مسئله یک مدل MILP توسعه داده شد که با استفاده از نرم‌افزارهای عمومی حل مدل، قادر به حل مسائل با ابعاد کوچک است؛ برای مسائل بزرگ‌تر نیز یک الگوریتم شاخه و قیمت^۹ ارائه کردند. مسئله‌ی OAS در محیط فلو شاپ دوماشینه^{۱۰} در دو حالت بررسی شد.^[۹] در حالت نخست تابع هدف کمیته‌سازی مجموع دامنه‌ی عملیات و مجموع هزینه‌های رد سفارش بررسی شد و نشان داده شد که این مسئله NP-hard است؛ و برای حل آن نیز دو الگوریتم تقریب متفاوت و یک الگوریتم شبه‌چندجمله‌ی توسعه داده شد. در حالت دوم یافتن کلیه‌ی نقاط پارتوی مسئله با اهداف دامنه‌ی عملیات و مجموع هزینه‌های رد سفارش تعقیب شده و پس از اثبات NP-hard بودن آن نشان دادند که مسئله در این حالت نیز در زمان شبه‌چندجمله‌ی قابل حل است.

برخی مطالعات صورت گرفته در مسئله‌ی زمان بندی چندعاملی نیز در ادامه مرور شده است. به منظور نشان دادن مسائل بررسی شده در ادبیات موضوع، از نمادگذاری سه‌جزئی^[۱۰] به شکل $\alpha|\beta|\gamma$ استفاده شده است. در این نمادگذاری اجزاء α ، β و γ به ترتیب نشان‌گر محیط ماشینی، ویژگی‌های مسئله و تابع هدف آن هستند. برخی نمادهای مورد استفاده برای نمایش مسائل مطرح در ادبیات موضوع نیز بدین صورت است که w_i^k و C_i^k به ترتیب وزن و زمان تکمیل کار i ام از عامل k ام بوده و L_{max}^k و C_{max}^k نیز به ترتیب بهینه‌ی زمان تکمیل و بهینه‌ی مغایرت زمان تکمیل و موعد تحویل کارهای عامل k ام هستند. همچنین مقدار U_i^k در صورت دیرکرد کار i ام از عامل k ام برابر ۱ و در غیر این صورت برابر صفر است. کران بالای مقدار تابع هدف عامل k ام نیز با Q_k نشان داده شده است.

اگنتیس و همکاران^[۱۱]، مسائل زمان بندی دو عاملی با توابع هدف بهینه‌ی مقدار یک تابع منظم^{۱۱}، تعداد کارهای دیرکردار و مجموع وزنی زمان‌های تکمیل را مورد توجه قرار دادند. آنان سناریوهای مختلفی برای تابع هدف هر عامل و نیز محیط کارگاهی در نظر گرفتند و برای هر سناریو پیچیدگی مسائل مربوطه را مورد بررسی قرار دادند.

در بررسی مسئله‌ی امکان‌پذیری k (که در آن n_k تعداد کارهای عامل k ام، نشان داده شده که این مسئله در حالت کلی به شدت NP-complete است.^[۱۲] در این مورد، چنانچه تعداد

عامل‌ها ثابت باشد در حالت عدد صحیح بودن وزن‌کارها می‌توان آن را در زمان شبه چندجمله‌ی حل کرد و در حالتی که تمامی وزن‌ها مساوی باشد می‌توان مسئله را در زمان چندجمله‌ی حل کرد.

در مطالعه‌ی لیو و تانگ^[۱۳] مسئله‌ی زمان بندی تک‌ماشین دو عاملی با در نظر گرفتن کارهای زوال دار^{۱۳} مورد بررسی قرار گرفت. در مطالعه‌ی مذکور با در نظر گرفتن چهار تابع هدف دامنه‌ی عملیات^{۱۳}، بهینه‌ی مغایرت، بهینه‌ی هزینه و مجموع زمان‌های تکمیل، ویژگی‌های مسائل زمان بندی دو عاملی متشکل از ترکیبات مختلف این توابع هدف مورد بررسی قرار گرفت. در مسائل بررسی شده هدف کمیته‌سازی تابع هدف یک عامل، و قراردادن یک کران بالا برای تابع هدف عامل دیگر است. بر این اساس، الگوریتم‌های بهینه‌ی چندجمله‌ی برای دو مسئله‌ی متفاوت ارائه شده است.

اگنتیس و همکاران^[۱۴] برای حل سه مسئله‌ی $\sum w_i^k C_i^k \leq Q_2$ ، $\sum w_i^k C_i^k : C_{max}^k \leq Q_2$ و $\sum w_i^k C_i^k : L_{max}^k \leq Q_2$ از روش شاخه و کران استفاده کردند و در آن از یک حد پایین بر مبنای آزادسازی لاگرانژ بهره بردند. همچنین مسئله‌ی زمان بندی دو عاملی $\sum w_i^k C_i^k + \theta L_{max}^k$ ، که تابع هدف آن ترکیب وزنی توابع هدف عامل‌هاست، مورد مطالعه قرار گرفت.^[۱۵] از آنجا که این مسئله در دسته مسائل NP-hard قرار دارد برای حل آن از دو روش فراابتکاری الگوریتم ژنتیک و الگوریتم ترکیبی کانگورو و شبیه‌سازی تبرید^{۱۴} استفاده شده است.

در مطالعه پیرامون مسئله‌ی زمان بندی دو عاملی در محیط فلو شاپ دوماشینه با نماد $U_i^k : \sum T_i^k : F_2$ ، T_i^k معرف مقدار زودکرد کار i ام از عامل اول است.^[۱۶] برای این مسئله یک الگوریتم شاخه و کران و یک الگوریتم شبیه‌سازی تبرید ارائه شده است. همچنین بررسی مسئله‌ی $U_i^k : \sum C_i^k : F_2$ نشان داد که این مسئله به شدت NP-hard است.^[۱۷] لذا برای حل آن یک الگوریتم شاخه و کران و یک الگوریتم شبیه‌سازی تبرید ارائه شد.

محققین مسئله‌ی زمان بندی دو عاملی را با در نظر گرفتن توابع هدف زودکردار مورد بررسی قرار دادند.^[۱۸] دو مسئله‌ی مورد بررسی آنان $E_{max}^k : E_{max}^k \leq Q_2$ و $\sum w_i^k E_i^k : E_{max}^k \leq Q_2$ بوده که در آنها E_i^k و E_{max}^k به ترتیب مقدار زودکرد کار i ام از عامل k ام، و بهینه‌ی زودکرد کارهای عامل k ام هستند. در مطالعه‌ی یاد شده برای مسئله‌ی $E_{max}^k : E_{max}^k \leq Q_2$ یک الگوریتم بهینه‌ی چندجمله‌ی ارائه، و نشان داده شد که مسئله‌ی $\sum w_i^k E_i^k : E_{max}^k \leq Q_2$ با فرض موعد تحویل مشترک برای تمامی کارها به طور عادی NP-hard بوده و بدون در نظر گرفتن این فرض به شدت NP-hard است. همچنین یک الگوریتم ابتکاری کارا برای این مسئله توسعه داده شده است.

در تحقیقی دیگر^[۱۹] مسئله‌ی زمان بندی تک‌ماشین دسته‌ی^{۱۵} با توابع هدف $\sum C_i^k : \sum C_i^k \leq Q_2$ -- در حالتی که تمامی کارها مشابه‌اند و زمان آماده‌سازی به دسته وابسته است -- مورد تحقیق قرار گرفته است. در آن بررسی فرض بر آن بوده که کارهای متعلق به عامل دوم باید تماماً پشت سر هم انجام شود. برای این مسئله در حالتی که الزامی برای عدد صحیح بودن اندازه هر دسته وجود نداشته باشد، یک الگوریتم بهینه با پیچیدگی $O(n^{2/3})$ ارائه شد و سپس یک روش گردکردن^{۱۶} با پیچیدگی $O(n^{1/3})$ برای به دست آوردن یک جواب با اندازه دسته‌های عدد صحیح پیشنهاد شد.

چنان که در ابتدای این بخش نیز اشاره شد از آنجا که در ادبیات موضوع، دو مسئله‌ی OAS و MAS به‌طور همزمان بررسی نشده است، نوآوری ارائه شده در این مقاله عبارت است از در نظر گرفتن عامل‌های مختلف -- همان مشتریان با

۳. بررسی مسئله

مسئله $\{ \sum_{k=1}^r U_i^k = 0 \mid \sum_{k=1}^r \sum_{i=1}^{n_k} q_i^k - \sum_{i=1}^{n_1} L_i \}$ با فرض صفر بودن تعداد سفارش‌های عامل اول، و نیز مشترک بودن موعد تحویل سفارش‌های عامل دوم، به یک مسئله کوله‌پشتی کاهش می‌یابد، و لذا پیچیدگی آن دست کم معادل مسئله کوله‌پشتی و NP-hard به‌هنگار است. اما از آنجا که الگوریتم برنامه‌ریزی پویای ارائه شده برای این مسئله شبه‌چندجمله‌ی است، پیچیدگی آن به‌شدت NP-hard به‌هنگار است.

در ادامه یک الگوریتم ابتکاری و یک الگوریتم برنامه‌ریزی پویا برای این مسئله ارائه می‌شود. اما قبل از ارائه الگوریتم‌های مذکور، چند لم ارائه شده که در ادامه مورد استفاده قرار گرفته‌اند.

لم ۱: با فرض معلوم بودن مجموعه سفارشات پذیرفته شده‌ی عامل اول (A_1) و دوم (A_2) و امکان‌پذیری مسئله براساس این مجموعه‌ها، اگر به‌ازای هر سفارش از عامل دوم (نظیر J_i^2) رابطه $U_i^2 \left(\sum_{i \in A_1} p_i^1 + \sum_{i \in A_2} p_i^2 \right) = 1$ برقرار باشد، آنگاه یک توالی بهینه وجود دارد که در آن هر سفارش دلخواهی از عامل اول می‌تواند در انتهای توالی قرار گیرد.

اثبات: واضح است که براساس فرض لم چنانچه سفارشی از عامل دوم در انتهای توالی قرار گیرد، جواب ناممکن می‌شود. لذا حتماً یک توالی امکان‌پذیر وجود دارد که در آن سفارشی از عامل اول مانند J_h^1 در انتهای توالی قرار دارد. مقدار تابع هدف این توالی برابر $\sum_{i \in A_1} q_i^1 + \sum_{i \in A_2} q_i^2 - \sum_{i \in A_1} L_i$ و به عبارتی معادل $\left(\sum_{i \in A_1} q_i^1 + \sum_{i \in A_2} q_i^2 - \left(\sum_{i \in A_1} C_i^1 - \sum_{i \in A_1} d_i^1 \right) \right)$ است. از آنجا که مقادیر $\sum_{i \in A_1} q_i^1$ ، $\sum_{i \in A_2} q_i^2$ و $\sum_{i \in A_1} d_i^1$ برای هر توالی امکان‌پذیری از سفارشات پذیرفته شده‌ی درون A_1 و A_2 ثابت است، برای یافتن توالی بهینه باید مقدار $\sum_{i \in A_1} C_i^1$ کمینه باشد. اما به دلیل برابری زمان پردازش سفارشات عامل اول، با جابه‌جایی هر سفارش دلخواهی از مجموعه A_1 با J_h^1 بدون برهم خوردن امکان‌پذیری، مقدار $\sum_{i \in A_1} C_i^1$ ثابت خواهد ماند. لذا اثبات کامل است. ■

لم ۲: با فرض معلوم بودن مجموعه سفارشات پذیرفته شده‌ی عامل اول (A_1) و دوم (A_2) و امکان‌پذیری مسئله براساس این مجموعه‌ها، اگر سفارشی از عامل دوم (مانند J_i^2) وجود داشته باشد به طوری که $U_i^2 \left(\sum_{i \in A_1} p_i^1 + \sum_{i \in A_2} p_i^2 \right) = 0$ ، آنگاه یک توالی بهینه وجود دارد که این سفارش در آخر آن قرار گیرد.

اثبات: فرض کنید توالی امکان‌پذیر σ' وجود دارد که در آن کار J_i^2 در انتهای توالی نبوده و از این توالی، توالی σ با انتقال سفارش J_i^2 به انتها، به دست آید. برای هر سفارش J_h^k ($k = 1, 2, h = 1, \dots, n_k$) غیر از J_i^2 رابطه $C_h^k(\sigma) \leq C_h^k(\sigma')$ همواره وجود دارد، یعنی زمان تکمیل سایر سفارشات در توالی σ کوچک‌تر یا مساوی توالی σ' بوده و سفارش J_i^2 در هر دو توالی مذکور بدون دیرکرد است، و از این رو امکان‌پذیری توالی σ نیز برقرار است. ■

در لم سوم یک حد بالا برای حالتی که تعدادی از سفارشات عامل اول از قبل تعیین تکلیف شده، و نیز یک حد بالا برای حالتی که در آن تنها تعدادی از سفارشات عامل دوم تعیین تکلیف نشده‌اند، ارائه شده است.

لم ۳ (حد بالای ۱): با فرض این که مجموعه سفارشات پذیرفته شده و رد شده‌ی عامل اول به ترتیب A_1 و R_1 باشد، آنگاه مقدار:

$$\sum_{i \in A_1} (q_i^1 - L_i^1) + \sum_{i \in S_1 - \{A_1 \cup R_1\}} \left(q_i^1 - \min \left\{ 0, (|A_1| + 1)p^1 - d_i^1 \right\} \right) + \sum q_i^1$$

توابع جریمه‌ی مختلف -- در مسئله OAS و کاربردی‌تر کردن آن به منظور پوشش شرایط با واقعیت بیشتر در محیط‌های تولیدی.

در ادامه، تعریف مسئله و نمادهای مورد نیاز در بخش دوم ارائه شده است. سپس در بخش سوم، با بررسی مسئله یک الگوریتم ابتکاری چندجمله‌ی و یک الگوریتم برنامه‌ریزی پویای شبه چندجمله‌ی توسعه داده شده است. در بخش چهارم نیز نتایج حل الگوریتم‌های توسعه یافته روی مسائل نمونه ارائه و مورد تحلیل قرار گرفته است. نتیجه‌گیری و پیشنهاداتی برای مطالعات آتی نیز در بخش آخر ارائه شده است.

۲. تعریف مسئله و نمادهای مورد نیاز

در این نوشتار فرض شده که دو عامل هر یک با تعدادی سفارش در یک محیط تک‌ماشین به هم رقابت می‌کنند. برای عامل اول هم دیرکرد و هم زودکرد سفارشات اهمیت دارد، به گونه‌ی که برای هر واحد دیرکرد سفارش، تولیدکننده مجبور به پرداخت یک واحد جریمه بوده و به‌ازای هر واحد زودکرد نیز یک واحد پاداش از طرف مشتری به تولیدکننده پرداخت می‌شود. این در حالی است که عامل دوم، دیرکرد سفارش‌های خود را به هیچ عنوان نپذیرفته، یا به عبارتی برای سفارشات خود ضرب‌الاجل تعیین کرده است. همچنین فرض شده که سفارشات عامل اول از نظر زمان پردازش مشابه‌اند و مذاکره بین عامل‌ها نیز وجود ندارد. برخی نمادهای مورد استفاده در بیان مسئله عبارت‌اند از:

- S : مجموعه‌ی کل سفارش‌ها؛
 - S_A : مجموعه‌ی سفارش‌های پذیرفته شده ($S_A \subseteq S$)؛
 - n : تعداد کل سفارش‌ها؛
 - n_k : تعداد سفارش‌های متعلق به عامل k ($\sum_{k=1}^r n_k = n$)؛
 - S_k : مجموعه‌ی سفارش‌های متعلق به عامل k ($U_{k=1}^r S_k = S$) و $(\bigcap_{k=1}^r S_k = \emptyset)$ ؛
 - J_i^k : سفارش i متعلق به عامل k ($k = 1, 2, i = 1, \dots, n_k$)؛
 - p_i^k : مدت زمان پردازش J_i^k ($k = 1, 2, i = 1, \dots, n_k$)؛
 - p^1 : مدت زمان پردازش هر سفارش عامل اول ($\forall i : p_i^1 = p^1$)؛
 - P_{sum}^1 : مجموع زمان پردازش سفارش‌های عامل دوم ($P_{sum}^1 = \sum_{i=1}^{n_2} p_i^2$)؛
 - P_{sum} : مجموع زمان پردازش تمامی سفارش‌ها ($P_{sum} = \sum_{k=1}^r \sum_{i=1}^{n_k} p_i^k$)؛
 - q_i^k : درآمد J_i^k ($k = 1, 2, i = 1, \dots, n_k$)؛
 - C_i^k : زمان تکمیل J_i^k ($k = 1, 2, i = 1, \dots, n_k$)؛
 - $C_i^k(\sigma)$: زمان تکمیل J_i^k در توالی σ ؛
 - d_i^k : موعد تحویل J_i^k ($k = 1, 2, i = 1, \dots, n_k$)؛
 - L_i^k : مغایرت زمان تکمیل و موعد تحویل J_i^k ، که برابر با $C_i^k - d_i^k$ است ($k = 1, 2, i = 1, \dots, n_k$)؛
 - U_i^k : اگر برای J_i^k مقدار L_i^k مثبت باشد، این سفارش دیرکردار بوده و مقدار U_i^k برابر ۱ و در غیر این صورت برابر صفر خواهد بود ($k = 1, 2, i = 1, \dots, n_k$)؛
 - $U_i^k(C)$: در صورتی که زمان تکمیل J_i^k برابر C بوده و این سفارش دیرکردار باشد مقدار ۱ و در غیر این صورت مقدار صفر می‌گیرد ($k = 1, 2, i = 1, \dots, n_k$)؛
- مسئله‌ی فوق را می‌توان براساس نمادگذاری انجام شده [۱۰] به صورت:

$$\{ \sum_{k=1}^r U_i^k = 0 \mid \sum_{k=1}^r \sum_{i=1}^{n_k} q_i^k - \sum_{i=1}^{n_1} L_i^1 \}$$

نشان داد. که در آن OA امکان پذیرش یا رد سفارشات است.

یک حد بالا برای مقدار تابع هدف مسئله مورد بررسی است، که در آن $|A_1|$ تعداد سفارشات درون مجموعه‌ی A_1 است.

اثبات: قسمت اول از عبارت فوق $\sum_{i \in A_1} (q_i^1 - L_i^1)$ برابر مجموع سود سفارشات از قبل پذیرفته شده‌ی عامل اول است. قسمت دوم $(\sum_{i \in S_1 - \{A_1 \cup R_1\}} (q_i^1 - \min\{0, (|A_1| + 1)p^1 - d_i^1\}))$ نیز شامل دو جزء است که جزء اول مجموع درآمد سفارش‌های تعیین تکلیف نشده از عامل اول بوده و در جزء دوم $(|A_1| + 1)p^1 - d_i^1$ برابر با مغایرت زمان تکمیل و موعد تحویل سفارش i ام از سفارشات تعیین تکلیف نشده‌ی عامل اول است که در صورت منفی بودن از درآمد کسر می‌شود. همچنین قسمت سوم عبارت فوق $(\sum_{i \in S_1} q_i^1)$ برابر مجموع درآمد کلیه‌ی سفارشات عامل دوم است. لذا این عبارت شامل مجموع سود سفارشات پذیرفته شده، درآمد تمامی سفارشات تعیین تکلیف نشده و پاداش احتمالی حاصل از سفارشات تعیین تکلیف نشده‌ی عامل اول در صورت منفی بودن مغایرت آنها است. برای هر سفارش i درون مجموعه‌ی، در صورتی که سفارش $S_1 - \{A_1 \cup R_1\}$ در جواب بهینه وجود نداشته باشد، مقدار $\min\{0, (|A_1| + 1)p^1 - d_i^1\}$ به طور ضمنی به حد بالا افزوده شده است و در صورتی که سفارش i در جواب بهینه باشد، مقدار مجموع زمان تکمیل سفارشات $A_1 \cup \{i\}$ در جواب بهینه یعنی $\sum_{j \in A_1} C_j^1 + C_i^1$ کم‌تر از $(|A_1| + 1)p^1$ نخواهد بود. لذا مقدار پاداش در نظر گرفته شده برای هر سفارش i درون مجموعه‌ی $S_1 - \{A_1 \cup R_1\}$ در عبارت فوق بزرگ‌تر یا مساوی معادل آن در جواب بهینه است. بر این اساس می‌توان نتیجه گرفت که عبارت فوق یک حد بالا برای مسئله با فرض‌های ذکر شده است. ■

لم ۴ (حد بالای ۲): با فرض این که مجموعه‌ی سفارشات پذیرفته شده‌ی عامل اول و دوم به ترتیب A_1 و A_2 بوده و تنها تعدادی از سفارشات عامل دوم (مجموعه‌ی RS_2) تعیین تکلیف نشده باشد؛ آنگاه مقدار $\sum_{i \in A_1} (q_i^1 - L_i^1) + \sum_{i \in A_2} q_i^1 + \sum_{i \in RS_2} q_i^1$ یک حد بالا برای تابع هدف مسئله‌ی مورد بررسی است. اثبات: دو جزء اول از عبارت فوق برابر مقدار تابع هدف حاصل از سفارشات پذیرفته شده‌ی هر دو عامل است. بدیهی است که با افزودن مقدار درآمد سفارشات باقی‌مانده از عامل دوم که تنها سفارشات تعیین تکلیف نشده‌اند، این مقدار بزرگ‌تر یا مساوی مقدار بهینه‌ی تابع هدف خواهد بود. ■

۱.۳. الگوریتم SAO برای زمان بندی سفارشات پذیرفته شده

بر اساس لم‌های ۱ و ۲، و با فرض معلوم بودن مجموعه سفارشات پذیرفته شده‌ی عامل اول و دوم، توالی بهینه را می‌توان از الگوریتم «ترتیب‌گذاری سفارشات پذیرفته شده (SAO)»^{۱۷} پیدا کرد. در این الگوریتم سفارش‌ها از انتهای توالی چیده شده و در هر مرحله درمورد سفارشی که در انتهای توالی قرار می‌گیرد بر اساس دو لم مذکور تصمیم‌گیری می‌شود. گام‌های این الگوریتم عبارت است از:

- گام ۱:** توالی جواب را σ نامیده و قرار دهید $\phi = \sigma$.
- سفارشات پذیرفته شده‌ی عامل اول را به ترتیب دلخواه مرتب کرده و با σ_{arb} نشان دهید.
- سفارشات پذیرفته شده‌ی عامل دوم را به ترتیب غیرنزولی موعد تحویل (EDD)^{۱۸} مرتب کرده و با σ_{EDD} نشان دهید.
- قرار دهید $P_i^1 = \sum_{i \in \sigma_{arb}} p_i^1 + \sum_{i \in \sigma_{EDD}} p_i^1$.
- گام ۲:** در صورتی که در توالی σ_{EDD} سفارش دیرکرداری وجود دارد به گام ۷ بروید.

- گام ۳:** اگر $\tau = 0$ به گام ۸ بروید، در غیر این صورت به گام ۴ بروید.
- گام ۴:** اگر σ_{EDD} تهی است به گام ۵ بروید؛ در غیر این صورت سفارش انتهای σ_{EDD} را $J_h^1(\tau) = 0$ بنامید. اگر $U_h^1(\tau) = 0$ آنگاه این سفارش را از σ_{EDD} حذف کرده و آن را سفارش فعال بنامید و به گام ۶ بروید. در غیر این صورت به گام ۵ بروید.
- گام ۵:** اگر σ_{arb} تهی است به گام ۸ بروید؛ در غیر این صورت سفارش انتهای σ_{arb} را برابر سفارش فعال قرار داده و پس از حذف آن از σ_{arb} به گام ۶ بروید.
- گام ۶:** سفارش فعال را در توالی σ قبل از سایر سفارش‌ها زمان بندی کنید. از مقدار τ به اندازه‌ی زمان پردازش سفارش فعال کم کنید و به گام ۳ بروید.
- گام ۷:** مسئله امکان پذیر نیست؛ به گام ۹ بروید.
- گام ۸:** توالی σ جواب بهینه‌ی مسئله است.
- گام ۹:** پایان.

چنان که در گام‌های فوق مشخص است، در هر مرحله‌ی الگوریتم یک سفارش از بین سفارش‌های زمان بندی نشده انتخاب، و در انتهای توالی قبل از سفارش‌های زمان بندی شده قرار می‌گیرد. در صورت حفظ امکان پذیری سفارشی از عامل دوم انتخاب می‌شود و در غیر این صورت به دلخواه سفارشی از عامل اول انتخاب می‌شود. اگر تمامی سفارش‌های عامل اول زمان بندی شده باشد و سفارشی از عامل دوم را نتوان در انتهای توالی جواب، قبل از سفارش‌های زمان بندی شده قرار داد، مسئله امکان‌ناپذیر است. پیچیدگی زمانی گام ۱ الگوریتم فوق به دلیل مرتب کردن سفارشات عامل دوم برابر $O(n_2 \log n_2)$ است و گام‌های ۵ تا ۷ الگوریتم نیز حداکثر $n_1 + n_2$ بار تکرار می‌شود. لذا در کل پیچیدگی الگوریتم فوق $O(n_1 + n_2 \log n_2)$ است. از این روش ساده در الگوریتم ابتکاری و برنامه ریزی پویای ارائه شده برای حل مسئله استفاده شده است.

۲.۳. الگوریتم ابتکاری SOT

در این قسمت الگوریتم ابتکاری^{۱۹} SOT برای حل مسئله ارائه شده است. در این الگوریتم ابتدا سفارشات عامل اول به ترتیب غیرصعودی از مقدار درآمد ضربدر موعد تحویل وارد شده و به انتهای توالی جواب افزوده می‌شود؛ سپس چنانچه مقدار تابع هدف افزایش نیابد سفارش وارد شده از توالی حذف می‌شود. همین روند برای سفارشات عامل دوم با ترتیب ورود EDD به اجرا درآمده و در نهایت توالی جواب به عنوان خروجی ارائه می‌شود. گام‌های این الگوریتم عبارت‌اند از:

- گام ۱:** سفارش‌های عامل اول را به ترتیب غیرصعودی از مقدار درآمد ضربدر موعد تحویل مرتب کرده و در مجموعه S_1 قرار دهید؛ سفارش‌های عامل دوم را به ترتیب EDD در مجموعه S_2 قرار دهید. توالی جواب را σ بنامید و قرار دهید $\phi = \sigma$.
- گام ۲:** در صورتی که $S_1 = \phi$ به گام ۴ بروید؛ در غیر این صورت اولین سفارش از S_1 را O^1 نامیده و آن را از S_1 حذف کنید؛ سپس به گام ۳ بروید.
- گام ۳:** سفارش O^1 را به انتهای توالی σ بیافزایید. اگر مقدار تابع هدف افزایش یافت توالی جدید را حفظ کنید و در غیر این صورت سفارش O^1 را از توالی σ حذف کنید. به گام ۲ بروید.
- گام ۴:** در صورتی که $S_2 = \phi$ به گام ۷ بروید و در غیر این صورت اولین سفارش از S_2 را O^2 نامیده و آن را از S_2 حذف کنید. سپس به گام ۵ بروید.
- گام ۵:** اگر با تشکیل ترتیب EDD از سفارشات عامل دوم در توالی σ و سفارش O^2 ، دست کم یکی از سفارشات دیرکردار شد، به گام ۴ و در غیر این صورت به گام ۶ بروید.
- گام ۶:** سفارش O^2 را به توالی σ افزوده و پس از اجرای الگوریتم SAO روی

از لم ۳ بزرگتر از مقدار تابع هدف بهترین جواب فعلی است حالت جدید را به فضای حالت شماره ۱ بیافزایید.

گام ۲-۲ (اصل غلبه‌ی ۱): برای هر دو حالت مانند $(L_{sum_apt}^1, \phi, \phi)$ ، $v' = (S_{apt}^1, Z_{apt}^1, n_{apt}^1, L_{sum_apt}^1, \phi, \phi)$ و $v = (S_{apt}, Z_{apt}, n_{apt}, L_{sum_apt}, \phi, \phi)$ موجود در فضای حالت شماره ۱، در صورتی که شرایط $Z_{apt} \geq Z_{apt}^1$ ، $L_{sum_apt} \leq L_{sum_apt}^1$ و $n_{apt} \leq n_{apt}^1$ برقرار باشند، آنگاه کافی است تنها حالت v در فضای حالت شماره ۱ نگه داشته شود. این اصل غلبه را برای فضای حالت شماره ۱ بررسی کرده و پس از به‌روز کردن آن به گام ۲ بروید.

گام ۳: تعداد کل حالت‌های موجود در فضای حالت شماره ۱ را برابر NSI در نظر گرفته و قرار دهید $k = 1$.

گام ۴: اگر $k > NSI$ به گام ۷ بروید و در غیر این صورت حالت k ام از فضای حالت شماره ۱ را در فضای حالت شماره ۲ قرار داده، و با در نظر گرفتن $S_1' = S_1$ و به گام ۵ بروید.

گام ۵: در صورتی که $S_1' = \phi$ به گام ۶ بروید و در غیر این صورت سفارش ابتدای $\phi = S_1'$ را z نامیده و آن را از S_1' حذف کرده و به گام ۵-۱ بروید.

گام ۵-۱: برای هر حالت موجود در فضای حالت شماره ۲ مانند $(P_{sum_apt}^1, S_{apt}, Z_{apt}, n_{apt}, L_{sum_apt}, C_{max_apt}^1)$ ، سفارش z را به S_{apt} افزوده و الگوریتم SAO را برای یافتن توالی امکان‌پذیر روی مجموعه‌ی $\{z\} \cup S_{apt}$ اجرا کنید. اگر توالی حاصل امکان‌پذیر است، مقادیر مربوط به حالت جدید را حساب کرده و به گام ۵-۲ بروید.

گام ۵-۲ (محاسبه‌ی حد بالای ۲): مطابق لم ۴ مقدار حد بالا را برای حالت جدید محاسبه کنید. اگر مقدار این حد بالا کوچک‌تر یا مساوی مقدار تابع هدف بهترین جواب فعلی است، قرار دهید $k = k + 1$ و به گام ۴ بروید. در غیر این صورت به گام ۵-۳ بروید.

گام ۵-۳ (اصل غلبه‌ی ۲): برای هر دو حالت مانند:

$$v = (S_{apt}, Z_{apt}, n_{apt}, L_{sum_apt}, C_{max_apt}^1, P_{sum_apt}^1)$$

$$v' = (S_{apt}^1, Z_{apt}^1, n_{apt}^1, L_{sum_apt}^1, C_{max_apt}^1, P_{sum_apt}^1)$$

در فضای حالت شماره ۲، اگر شرایط $Z_{apt} \geq Z_{apt}^1$ ، $L_{sum_apt} \leq L_{sum_apt}^1$ ، $C_{max_apt}^1 \leq C_{max_apt}^1$ و $P_{sum_apt}^1 \leq P_{sum_apt}^1$ برقرار باشد، آنگاه کافی است تنها حالت v در فضای حالت شماره ۲ نگه داشته شود. این اصل غلبه را برای فضای حالت شماره ۲ بررسی کرده و پس از به‌روز کردن آن به گام ۵ بروید.

گام ۶: در صورتی که بهترین جواب موجود در فضای حالت شماره ۲ بهتر از بهترین جواب فعلی است آن را جایگزین بهترین جواب فعلی کنید. با در نظر گرفتن $k = k + 1$ ، فضای حالت شماره ۲ را تهی کرده و به گام ۴ بروید.

گام ۷: بهترین جواب فعلی را به‌عنوان خروجی در نظر بگیرید.

گام ۸: پایان.

اصول غلبه‌ی به‌کار رفته در گام‌های ۲-۲ و ۳-۵ الگوریتم DP۱ در قالب لم‌هایی که در ادامه آمده‌اند، مطرح شده و به اثبات رسیده‌اند.

لم ۵ (اصل غلبه‌ی ۱): در صورتی که در الگوریتم DP۱ در فضای حالت شماره ۱ دو حالت $(S_{apt}, Z_{apt}, n_{apt}, L_{sum_apt}, \phi, \phi)$ و $v = (S_{apt}^1, Z_{apt}^1, n_{apt}^1, L_{sum_apt}^1, \phi, \phi)$ با شرایط زیر وجود داشته باشند، می‌توان بدون از دست دادن جواب بهینه حالت v' را حذف کرد.

$$Z_{apt} \geq Z_{apt}^1 \quad (1)$$

این توالی، اگر مقدار تابع هدف افزایش یافت توالی جدید را حفظ کنید، در غیر این صورت سفارش O^1 را از توالی σ حذف کنید. به گام ۲ بروید.

گام ۷: توالی σ را به‌عنوان جواب ارائه دهید.

گام ۸: پایان.

پیچیدگی گام ۱ الگوریتم SOT به‌دلیل مرتب کردن سفارشات هر عامل برابر با $O(n_1 \log n_1 + n_1 \log n_1)$ است. گام‌های ۲ تا ۳ نیز دارای پیچیدگی $O(n_1)$ هستند. همچنین گام‌های ۴ تا ۶ به‌دلیل اجرای الگوریتم SAO حداکثر که تعداد n_2 مرتبه، و نیز به‌دلیل در اختیار داشتن ترتیب EDD سفارشات عامل دوم در ابتدای الگوریتم برابر با $O(n_2(n_1 + n_2))$ است. لذا پیچیدگی کل الگوریتم $O((n_2)^2 + n_1 n_2 + n_1 \log n_1)$ یا به‌طور خلاصه $O(n^2)$ است.

۳.۳ الگوریتم برنامه‌ریزی پویای DP۱

در اینجا یک برنامه‌ریزی پویای شبه چندجمله‌یی برای مسئله‌ی $\{OA, p_i\}$ ارائه می‌شود. $\sum_{i=1}^n U_i = \phi$ ، $\sum_{k=1}^n q_i^k - \sum_{i=1}^n L_i^1$ با نام DP۱ ارائه می‌شود. یادآوری می‌شود که این الگوریتم اساساً با دو الگوریتم برنامه‌ریزی پویای ارائه شده توسط قوش^[۲] متفاوت است و به‌دلیل همین تفاوت ساختار، این الگوریتم کاملاً جدید و بر مبنای ویژگی‌های مسئله‌ی فعلی توسعه داده شده است. الگوریتم DP۱ دارای دو فاز است و به‌طور کلی می‌توان آن را چنین بیان کرد که در فاز اول سفارش‌های عامل اول به‌ترتیب غیرصعودی از موعد تحویل (LDD)^{۲۰} وارد شده و فضای حالت شماره ۱ تشکیل و براساس حدود بالا و پایین و اصول غلبه‌ی ارائه شده به‌روز می‌شود. سپس در فاز دوم به‌ارزی هر یک از حالت‌های نهایی فاز اول، سفارش‌های عامل دوم به‌ترتیب EDD وارد شده و یک فضای حالت موقت به‌نام فضای حالت شماره ۲ تشکیل شده و براساس حدود بالا و پایین و اصل غلبه‌ی مورد نظر به‌روز می‌شود. بهترین حالت امکان‌پذیر از فضای حالت شماره ۲ انتخاب شده و این روند مجدداً برای دیگر حالت‌های فضای حالت فاز اول ادامه می‌یابد. در پایان هر مرحله، بهترین حالت به‌روز می‌شود. هر جواب مسئله، مرتبط با یک حالت است که به‌صورت: $(S_{apt}, Z_{apt}, n_{apt}, L_{sum_apt}, C_{max_apt}^1, P_{sum_apt}^1)$ نشان داده می‌شود و اجزای آن عبارت‌اند از:

S_{apt} : مجموعه‌ی سفارش‌های پذیرفته شده؛

Z_{apt} : مجموع درآمد حاصل از سفارش‌های پذیرفته شده؛

n_{apt}^1 : تعداد سفارش‌های پذیرفته‌شده‌ی عامل اول؛

$L_{sum_apt}^1$: مجموع مغایرت سفارش‌های پذیرفته‌شده‌ی عامل اول؛

$C_{max_apt}^1$: بیشترین زمان تکمیل سفارشات پذیرفته‌شده‌ی عامل دوم؛

$P_{sum_apt}^1$: مجموع زمان پردازش سفارشات پذیرفته‌شده‌ی عامل دوم.

گام‌های الگوریتم DP۱ نیز عبارت‌است از:

گام ۱: سفارش‌های عامل اول را به‌ترتیب LDD در مجموعه‌ی S_1 قرار دهید. سفارش‌های عامل دوم را به‌ترتیب EDD در مجموعه‌ی S_2 قرار دهید. بهترین جواب فعلی را برابر با جواب الگوریتم ابتکاری SOT در نظر بگیرید. حالت $(\phi, \phi, \phi, \phi, \phi, \phi)$ را در فضای حالت شماره ۱ قرار دهید.

گام ۲: در صورتی که $S_1 = \phi$ به گام ۵ بروید و در غیر این صورت سفارش ابتدایی S_1 را z نامیده و آن را از S_1 حذف کرده و به گام ۲-۱ بروید.

گام ۲-۱ (محاسبه‌ی حد بالای ۱): برای هر حالت مانند $(L_{sum_apt}^1, S_{apt}, Z_{apt}, n_{apt}, \phi, \phi)$ موجود در فضای حالت شماره ۱، سفارش z را به S_{apt} افزوده و سایر مقادیر را برای حالت جدید محاسبه کنید. اگر مقدار حد بالای حاصل

لم ۶ (اصل غلبه‌ی ۲): چنانچه دو حالت:

$$v = (S_{apt}, Z_{apt}, n_{\gamma}^{apt}, L_{sum_apt}^{\downarrow}, C_{max_apt}^{\uparrow}, P_{sum_apt}^{\uparrow})$$

$$v' = (S_{apt'}, Z_{apt'}, n_{\gamma}^{apt'}, L_{sum_apt'}^{\downarrow}, C_{max_apt'}^{\uparrow}, P_{sum_apt'}^{\uparrow})$$

در فضای حالت شماره ۲ با شرایط زیر وجود داشته باشد، می‌توان بدون از دست دادن جواب بهینه حالت v' را حذف کرد.

$$Z_{apt} \geq Z_{apt'} \quad (۷)$$

$$L_{sum_apt}^{\downarrow} \leq L_{sum_apt'}^{\downarrow} \quad (۸)$$

$$P_{sum_apt}^{\uparrow} \leq P_{sum_apt'}^{\uparrow} \quad (۹)$$

$$C_{max_apt}^{\uparrow} \leq C_{max_apt'}^{\uparrow} \quad (۱۰)$$

اثبات: مشابه اثبات لم ۵ است. ■

به دلیل اصل غلبه‌ی استفاده شده در گام ۲-۲ الگوریتم، تعداد حالات امکان‌پذیر موجود در فضای حالت شماره ۱ حداکثر برابر $(n_1)(n_1 p^1)$ است که در آن $(n_1 p^1)$ بیشینه دامنه‌ی تغییرات $L_{sum_apt}^{\downarrow}$ در فاز اول است. لذا پیچیدگی کل گام ۲ الگوریتم برابر $O(n_1)(n_1)(n_1 p^1)$ است. همچنین از آنجا که در گام‌های ۴ تا ۶ برای هر یک از حالت‌های موجود در فضای حالت شماره ۱ به نوعی یک الگوریتم برنامه‌ریزی پویا انجام می‌شود که پیچیدگی آن به‌ازای هر حالت موجود در فضای حالت ۱، به‌علت استفاده از اصل غلبه‌ی گام ۵-۳ و اجرای الگوریتم SAO برای هر حالت در گام ۵-۱، برابر $(n_1 p^1 + P_{sum}^{\uparrow})(n_1 p^1 + P_{sum}^{\uparrow})$ است که در آن $(n_1 p^1 + P_{sum}^{\uparrow})$ دامنه‌ی تغییرات $L_{sum_apt}^{\downarrow}$ و $C_{max_apt}^{\uparrow}$ در فاز دوم بوده و $(n_1 + n_2)$ پیچیدگی اجرای الگوریتم SAO برای هر حالت است. یادآور می‌شود در اینجا برای محاسبه‌ی پیچیدگی الگوریتم SAO به دلیل در دسترس بودن ترتیب EDD سفارش‌های عامل دوم در الگوریتم DP۱، نیازی به در نظر گرفتن پیچیدگی گام ۱ الگوریتم SAO نیست. لذا پیچیدگی کل را می‌توان با ضرب بیشینه تعداد حالات فضای حالت ۱ در پیچیدگی گام‌های ۴ تا ۶ به دست آورد و آن را به صورت $O(n_1 n_2 (n_1 + n_2) p^1 P_{sum}^{\uparrow} (n_1 p^1 + P_{sum}^{\uparrow}))$ یا به‌طور خلاصه به صورت $O(n^2 (P_{sum}^{\uparrow}))^2$ بیان کرد. پس الگوریتم DP۱ دارای پیچیدگی شبه چندجمله‌یی است و چنان‌که در ابتدای این قسمت ذکر شد، مسئله NP-hard به‌هنجار است. در صورتی که زمان پردازش تمامی سفارش‌های هر دو عامل برابر واحد باشد آنگاه مسئله توسط الگوریتم DP۱ در زمان چندجمله‌یی و با پیچیدگی $O(n_1^2 n_2^2 (n_1 + n_2)^2)$ یا به‌طور خلاصه $O(n^4)$ حل می‌شود.

۴. نتایج محاسباتی

به‌منظور بررسی کارایی الگوریتم‌های پیشنهادی، سعی شده تا کیفیت آنها در حل مسائل نمونه مورد بررسی قرار گیرد. این الگوریتم‌ها در محیط برنامه‌نویسی Visual C# ۲۰۱۰ پیاده‌سازی شده و روی یک دستگاه رایانه با مشخصات CPU ۳٫۴GHz Intel® Core™ i۷-۲۶۰۰ و ۴ GB RAM در محیط سیستم عامل Windows ۷ به اجرا گذاشته شده است. همچنین فاز دوم الگوریتم DP۱ به‌طور موازی کدنویسی شده و محدودیت زمان حل نیز در تمامی مسائل برابر ۳۶۰۰ ثانیه در نظر گرفته شده است.

نظر به جدید بودن مسئله‌ی پذیرش و زمان‌بندی سفارش‌های دو عاملی، سعی شده تا با الگوریتم‌های از نحوه‌ی تولید مسائل نمونه در ادبیات موضوع پذیرش و زمان‌بندی

$$n_{\gamma}^{apt} \leq n_{\gamma}^{apt'} \quad (۲)$$

$$L_{sum_apt}^{\downarrow} \leq L_{sum_apt'}^{\downarrow} \quad (۳)$$

اثبات: اگر با حذف حالت v' از فضای حالت شماره ۱، جواب بهینه از دست برود، این بدان معناست که این حالت منجر به رسیدن به جواب بهینه می‌شود. از طرفی از آنجا که در الگوریتم DP۱، هر دو حالت فوق در فاز اول -- یعنی زمانی که تنها سفارشات عامل اول وارد شده‌اند -- مورد بررسی قرار می‌گیرد، برای رسیدن به جواب بهینه در گام‌های بعدی الگوریتم، هم می‌توان سفارش‌های باقی‌مانده‌ی عامل اول و هم سفارش‌های عامل دوم را وارد کرد. در این صورت، مجموعه‌ی سفارش‌های عامل اول و دوم که باید برای حصول جواب بهینه به حالت v' افزود به ترتیب OS^1 و OS^2 فرض می‌شود.

از آنجا که جواب بهینه، حتماً یک جواب امکان‌پذیر است و چون فرض شده که جواب بهینه از حالت v' به دست می‌آید؛ با افزودن مجموعه‌های OS^1 و OS^2 به این حالت جواب حاصل امکان‌پذیر است. اگر فرض شود که $\sum_{i \in OS^1} C_i^{1'}$ مجموع زمان تکمیل سفارش‌های مجموعه‌ی OS^1 باشد، وقتی که این مجموعه به سفارشات پذیرفته شده در حالت v' افزوده شود، به دلیل امکان‌پذیری جواب بهینه، داریم:

$$L_{sum_apt}^{\downarrow} + \left(\sum_{i \in OS^1} C_i^{1'} - \sum_{i \in OS^1} d_i^1 \right) \leq Q_1 \quad (۴)$$

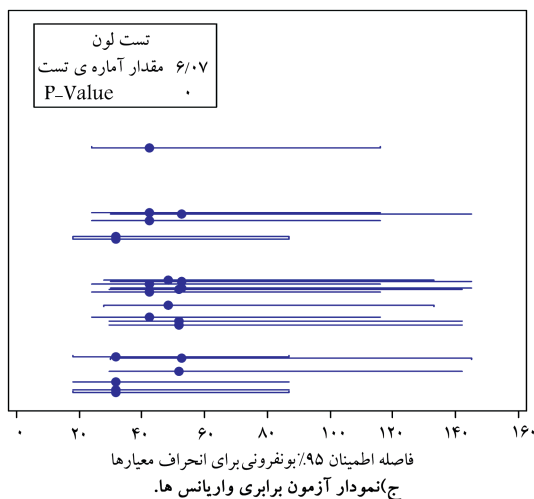
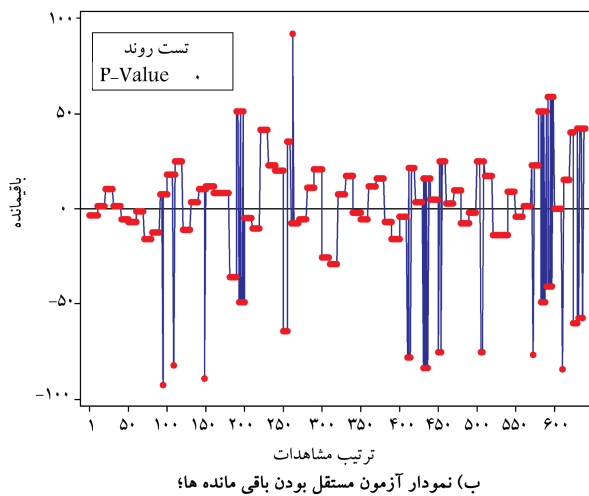
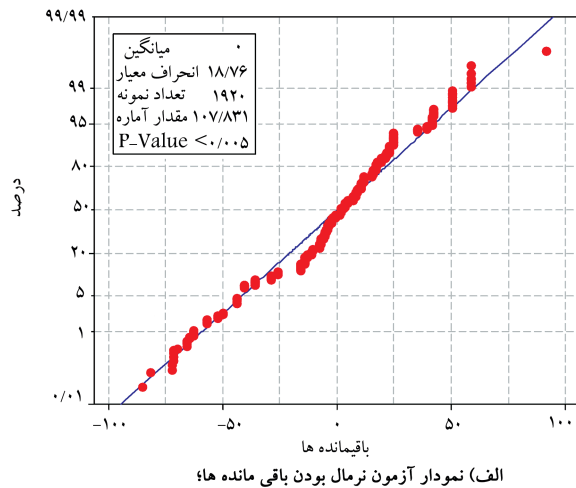
اگر سفارش‌های مجموعه‌ی OS^1 به همان ترتیبی که به حالت v' افزوده شدند به حالت v افزوده شود چون این سفارشات بعد از سفارشات چیده شده از قبل قرار دارند و به دلیل برقراری رابطه‌ی ۲ مجموع زمان پردازش سفارشات پذیرفته شده‌ی حالت v کم‌تر از حالت v' است. لذا رابطه‌ی $\sum_{i \in OS^1} C_i^1 \leq \sum_{i \in OS^1} C_i^{1'}$ برقرار است. از این رو با توجه به روابط ۳ و ۴ داریم:

$$L_{sum_apt}^{\downarrow} + \left(\sum_{i \in OS^1} C_i^1 - \sum_{i \in OS^1} d_i^1 \right) \leq Q_1 \quad (۵)$$

بر اساس رابطه‌ی ۵ جواب به دست آمده از حالت v نیز با افزودن سفارش‌های مجموعه‌ی OS^1 به آن، از نظر عامل اول امکان‌پذیر است. اما با افزودن سفارش‌های مجموعه‌ی OS^2 به حالت v' به دلیل فرض بهینگی این جواب هیچ سفارشی از عامل دوم در آن دیرکرد نخواهد داشت، و افزودن این سفارشات امکان‌پذیری عامل اول را به هم نمی‌ریزد. باز به دلیل برقراری روابط ۲ و ۳، و امکان‌پذیری جواب حاصل از v' ، جواب به دست آمده از افزودن سفارش‌های مجموعه‌ی OS^2 به حالت v نیز امکان‌پذیر خواهد بود. همچنین با توجه به برقراری روابط ۱ و ۳ می‌توان نوشت:

$$Z_{apt} - L_{sum_apt}^{\downarrow} + \sum_{k=1}^r \sum_{i \in OS^k} q_i^k \geq Z_{apt}' - L_{sum_apt}'^{\downarrow} + \sum_{k=1}^r \sum_{i \in OS^k} q_i^k \quad (۶)$$

لذا هر دو جواب به دست آمده از حالت v و v' امکان‌پذیرند، اما مقدار تابع هدف جواب به دست آمده از حالت v کم‌تر نیست، که این با فرض بهینه بودن جواب به دست آمده از حالت v' در تناقض است. از این رو فرض خلف باطل بوده و حذف حالت v' منجر به از دست رفتن جواب بهینه نمی‌شود. ■



شکل ۱. نمودارهای مربوط به بررسی سه پیش فرض اصلی تحلیل واریانس.

معنادار است. در شکل ۲ نمودار اثرات اصلی پارامترها بر متغیر پاسخ (درصد مسائل بهینه‌ی حل شده) به نمایش درآمده است. بر اساس این شکل اکثر پارامترها اثرات قابل توجهی بر روی میانگین درصد مسائل نمونه‌ی بهینه‌ی حل شده در ۳۶۰ ثانیه دارند.

نتایج حل برای گروه‌های ۱ تا ۶۴، شامل (تعداد نمونه‌ی بهینه) و «میانگین

سفرها، و نیز مطالعات گذشته در زمینه‌ی زمان‌بندی چندعاملی و اعمال تغییراتی بر اساس شرایط مسئله‌ی جدید، نسبت به طراحی مسائل نمونه اقدام شود. در مطالعه‌ی حاضر زمان‌های پردازش عامل دوم از توزیع یکنواخت گسسته در دو بازه [۱، ۱۰] مطابق مطالعات نوییون و لئوس^[۶] و [۱، ۱۰] براساس ادبیات موضوع زمان‌بندی چندعاملی^[۱۷-۱۵] تولید شده و زمان پردازش عامل اول نیز برابر دو مقدار ۵ و ۵ در نظر گرفته شده است. موعد تحویل هر سفرها مانند J_i^k نیز مانند مطالعات قبلی^[۱۷-۱۵] از توزیع یکنواخت گسسته $\max\{p_i^k, U[P_{sum}(1 - R/2), P_{sum}(1 - \tau + R/2)]\}$ تولید شده، که در آن τ و R به ترتیب عامل دیرکرد و عامل پراکندگی موعد تحویل اند. مقادیر در نظر گرفته شده برای پارامترهای مسئله و سطوح مربوط به آنها در جدول ۱ نشان داده شده است. از آنجا که آزمایشات مقدماتی بر مبنای «طرح آزمایش فاکتوریل کامل^[۲]» نشان دادند که درآمد سفرهاست عامل اول و مقدار τ و R مربوط به موعد تحویل شان در عملکرد روش‌های ارائه‌شده تأثیر معناداری ندارند لذا در آزمایشات محاسباتی صورت گرفته در این مطالعه، سطوح مختلفی برای آنها در نظر گرفته نشده است.

برای بررسی عملکرد الگوریتم DP۱ یک طرح آزمایش فاکتوریل کامل انجام شده است. لذا براساس پارامترهای: تعداد سفرهاست عامل اول، درآمد عامل دوم، زمان پردازش هر عامل، τ و R عامل دوم، تعداد ۶۴ ($2 \times 2 \times 2 \times 2 \times 2 \times 2$) گروه مختلف با نام‌های G^1 تا G^{64} شکل می‌گیرد که به ازای هر گروه سه اندازه مسئله با ۶۰، ۱۰۰ و ۱۵۰ سفرهاست در نظر گرفته شده و برای هر ترکیب مختلف از گروه و اندازه، ۱۰ مسئله‌ی نمونه تولید و حل شده است.

برای بررسی تأثیر پارامترهای در نظر گرفته شده از تحلیل واریانس ۲۲ استفاده شده است. لذا با توجه به تعداد گروه‌ها و اندازه‌های مختلف مسائل، ۱۹۲ (3×64) تیمار ۲۳ در نظر گرفته شده است. قابل ذکر است که سه پیش فرض اصلی تحلیل واریانس -- شامل نرمال بودن و مستقل بودن باقی‌مانده‌ها، و برابری واریانس‌ها -- مورد بررسی قرار گرفته و همه‌ی این پیش فرض‌ها پذیرفته شده‌اند (شکل ۱).

نتیجه‌ی تحلیل واریانس در جدول ۲ برای متغیر پاسخ «درصد مسائل نمونه‌ی بهینه‌ی حل شده در ۳۶۰ ثانیه» به نمایش درآمده است. براساس مقادیر P-Value در جدول ۲، تمامی پارامترها در سطح اطمینان ۵ درصد معنادار هستند. همچنین اثرات متقابل ۲۵ پارامترها تنها در ۱۳ مورد (از ۲۸ مورد) در سطح اطمینان ۵ درصد

جدول ۱. مشخصات پارامترهای استفاده شده در تولید مسائل نمونه.

نام پارامتر	نماد	مقدار	سطح
اندازه	n	۸۰، ۱۰۰ و ۱۵۰	
تعداد سفرهاست عامل اول	n_1	$2n_1 = n_2$	کوچک
		$n_1 = 2n_2$	بزرگ
درآمد عامل دوم	$qi-2$	$[1, 2 \times p_i^k]$	کوچک
		$[1, 2 \times p_i^k]$	بزرگ
زمان پردازش عامل اول	$p-1$	۵	کوچک
		۵۰	بزرگ
زمان پردازش عامل دوم	$pi-2$	$[1, 10]$	کوچک
		$[1, 100]$	بزرگ
مقدار τ عامل دوم	$tau-2$	۰/۳	کوچک
		۰/۷	بزرگ
مقدار R عامل دوم	$R-2$	۰/۲	کوچک
		۰/۶	بزرگ

جدول ۲. نتیجه‌ی تحلیل واریانس برای درصد مسائل حل شده توسط DP۱.

منبع	مجموع مربعات	درجه‌ی آزادی	میانگین مربعات	F	P-Value
Mode	۴۶۶۹۸۹,۵۸۳	۳۵	۱۳۳۴۲,۵۶۰	۳۷,۲۱۴	۰,۰۰۰
n	۷۹۲۶۰,۴۱۷	۲	۳۹۶۳۰,۲۰۸	۱۱۰,۵۳۲	۰,۰۰۰
n _۱	۱۳۰۲۰,۸۳۳	۱	۱۳۰۲۰,۸۳۳	۳۶,۳۱۶	۰,۰۰۰
q _i ^۲	۴۸۰۰۰,۰۰۰	۱	۴۸۰۰۰,۰۰۰	۱۳۳,۸۷۶	۰,۰۰۰
p ^۱	۳۳۳۳۳,۳۳۳	۱	۳۳۳۳۳,۳۳۳	۹۲,۹۷۰	۰,۰۰۰
p _i ^۲	۳۵۲۰,۸۳۳	۱	۳۵۲۰,۸۳۳	۹,۸۲۰	۰,۰۰۲
τ _۲	۴۲۱۸۷,۵۰۰	۱	۴۲۱۸۷,۵۰۰	۱۱۷,۶۶۵	۰,۰۰۰
R _۲	۲۰۸۳,۳۳۳	۱	۲۰۸۳,۳۳۳	۵,۸۱۱	۰,۰۱۶
n * n _۱	۷۰۱۰,۴۱۷	۲	۳۵۰۵,۲۰۸	۹,۷۷۶	۰,۰۰۰
n * q _i ^۲	۴۰۵۳۱,۲۵۰	۲	۲۰۲۶۵,۶۲۵	۵۶,۵۲۳	۰,۰۰۰
n * p ^۱	۲۷۹۴۷,۹۱۷	۲	۱۳۹۷۳,۹۵۸	۳۸,۹۷۵	۰,۰۰۰
n * p _i ^۲	۱۱۸۸۵,۴۱۷	۲	۵۹۴۲,۷۰۸	۱۶,۵۷۵	۰,۰۰۰
n * τ _۲	۳۳۵۹۳,۷۵۰	۲	۱۶۷۹۶,۸۷۵	۴۶,۸۴۸	۰,۰۰۰
n * R _۲	۱۰۷۲,۹۱۷	۲	۵۳۶,۴۵۸	۱,۴۹۶	۰,۲۲۴
n _۱ * q _i ^۲	۲۱۳۳۳,۳۳۳	۱	۲۱۳۳۳,۳۳۳	۵۹,۵۰۱	۰,۰۰۰
n _۱ * p ^۱	۲۰۸۳,۳۳۳	۱	۲۰۸۳,۳۳۳	۵,۸۱۱	۰,۰۱۶
n _۱ * p _i ^۲	۵۲۰,۸۳۳	۱	۵۲۰,۸۳۳	۱,۴۵۳	۰,۲۲۸
n _۱ * τ _۲	۱۷۵۲۰,۸۳۳	۱	۱۷۵۲۰,۸۳۳	۴۸,۸۶۷	۰,۰۰۰
n _۱ * R _۲	۸۳,۳۳۳	۱	۸۳,۳۳۳	۰,۲۳۲	۰,۶۳۰
q _i ^۲ * p ^۱	۱۵۱۸۷,۵۰۰	۱	۱۵۱۸۷,۵۰۰	۴۲,۳۵۹	۰,۰۰۰
q _i ^۲ * p _i ^۲	۷۵۰,۰۰۰	۱	۷۵۰,۰۰۰	۲,۰۹۲	۰,۱۴۸
q _i ^۲ * τ _۲	۴۴۰۸۳,۳۳۳	۱	۴۴۰۸۳,۳۳۳	۱۲۲,۹۵۲	۰,۰۰۰
q _i ^۲ * R _۲	۲۰,۸۳۳	۱	۲۰,۸۳۳	۰,۰۵۸	۰,۸۱۰
p ^۱ * p _i ^۲	۱۳۳۳,۳۳۳	۱	۱۳۳۳,۳۳۳	۳,۷۱۹	۰,۰۵۴
p ^۱ * τ _۲	۱۲۰۰۰,۰۰۰	۱	۱۲۰۰۰,۰۰۰	۳۳,۴۶۹	۰,۰۰۰
p ^۱ * R _۲	۶۰۲۰,۸۳۳	۱	۶۰۲۰,۸۳۳	۱۶,۷۹۳	۰,۰۰۰
p _i ^۲ * τ _۲	۵۲۰,۸۳۳	۱	۵۲۰,۸۳۳	۱,۴۵۳	۰,۲۲۸
p _i ^۲ * R _۲	۱۳۳۳,۳۳۳	۱	۱۳۳۳,۳۳۳	۳,۷۱۹	۰,۰۵۴
τ _۲ * R _۲	۷۵۰,۰۰۰	۱	۷۵۰,۰۰۰	۲,۰۹۲	۰,۱۴۸
خطا	۶۷۵۴۸۹,۵۸۳	۱۸۸۴	۳۵۸,۵۴۰		
مجموع	۱۷۹۸۰۰۰۰,۰۰۰	۱۹۲۰			

مدت زمان حل» به تفکیک اندازه مسائل در جدول ۳ نشان داده شده است. در جدول ۴ نیز نتایج حل با جزئیات بیشتری ارائه شده به طوری که در این جدول اندازه‌ی مسئله نیز به منظور جلوگیری از طولانی شدن جدول ادغام شده است.

بر اساس جدول ۳ و جدول ۴ مشاهده می‌شود که با افزایش ابعاد مسئله، درصد مسائل نمونه‌ی بهینه حل شده توسط DP۱ کاهش یافته و مدت زمان حل نیز افزایش می‌یابد، به طوری که در ابعاد ۶۰ سفارش تمامی مسائل نمونه به طور میانگین در ۶/۰۸ ثانیه، در ابعاد ۱۰۰ سفارش ۹/۰۹٪ از مسائل به طور میانگین در ۱۳۳/۵۹ ثانیه و در ابعاد ۱۵۰ سفارش ۸۴/۸۴٪ از مسائل به طور میانگین در ۳۳۳/۶۶ ثانیه توسط DP۱ در محدودیت ۳۶۰۰ ثانیه حل شده است. همچنین با افزایش تعداد سفارشات عامل دوم درصد مسائل کم‌تری توسط DP۱ حل شده، به طوری که در گروه‌های با $n_1 = 2n_2$ به طور میانگین ۹۶/۲۵٪ از مسائل و در گروه‌های با ویژگی $n_2 = 2n_1$ به طور میانگین ۹۱/۰۴٪ از مسائل نمونه حل شده است. این امر به دلیل زمان‌بر بودن فاز دوم الگوریتم DP۱ دور از انتظار نیست.

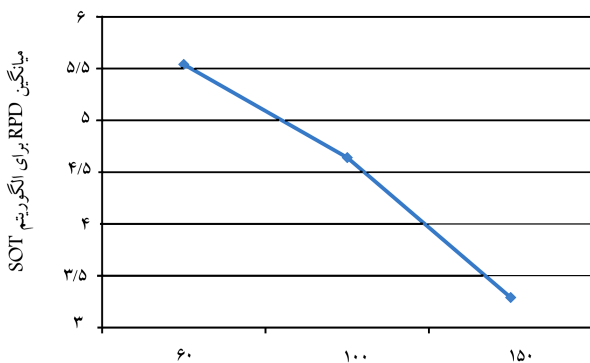
نکته‌ی مهم دیگری که باید به آن اشاره کرد عملکرد مناسب الگوریتم ابتکاری SOT است، به طوری که میانگین درصد انحراف نسبی (RPD) این الگوریتم از جواب بهینه در ۱۹۲۰ مسئله‌ی نمونه‌ی بررسی شده برابر ۴/۸۲٪ است. قابل ذکر است مقدار RPD برای هر مسئله‌ی نمونه از رابطه‌ی ۱۱ محاسبه شده که در آن Z_{H_1} و Z_{opt} به ترتیب مقدار تابع هدف حاصل از الگوریتم‌های DP۱ (بهینه) و SOT است.

$$RPD = \frac{Z_{opt} - Z_{H_1}}{Z_{opt}} \times 100 \quad (11)$$

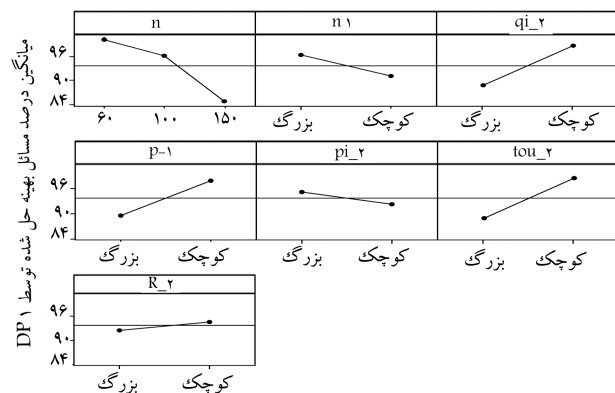
میانگین RPD برای الگوریتم ابتکاری SOT به ازای ابعاد مختلف مسائل در شکل ۳ به نمایش درآمده است. چنان که مشاهده می‌شود با افزایش ابعاد مسئله، میانگین RPD الگوریتم ابتکاری کاهش یافته است. دلیل این امر آن است که با افزایش ابعاد مسئله مقدار تابع هدف بهینه نیز افزایش می‌یابد و لذا در رابطه‌ی ۱۱ مخرج کسر بزرگ می‌شود و از آنجا که صورت کسر به دلیل عملکرد مناسب SOT فاصله‌ی خود را از جواب بهینه حفظ می‌کند، لذا مقدار RPD کاهش می‌یابد.

در شکل ۴ عملکرد الگوریتم ابتکاری SOT به ازای سطوح مختلف پارامترهای مسئله قابل مشاهده است. بر اساس این شکل، به ترتیب کم‌ترین و بیشترین تأثیر بر میانگین RPD مربوط به پارامترهای زمان پردازش عامل اول (p^1) و درآمد عامل دوم (q_i^2) است.

از آنجا که الگوریتم DP۱ به دلیل استفاده از اصول غلبه‌ی ۱ و ۲ دارای پیچیدگی شبه چندجمله‌یی است، این اصول باید کارایی قابل توجهی داشته باشند که داده‌های



شکل ۳. میانگین درصد خطای الگوریتم SOT به ازای ابعاد مختلف.



شکل ۴. نمودار اثرات اصلی پارامترها بر درصد مسائل بهینه حل شده.

جدول ۳. نتایج کلی حل به ازای گروه‌های $G^{\circ 1}$ تا $G^{\circ 64}$ به تفکیک اندازه مسائل.

میانگین تعداد مدت زمان حل (ثانیه)		گروه با مشخصات $n_1 = 2n_2$ $q_1^i \square [1/2^{\circ} \times p_2^i]$	میانگین تعداد مدت زمان حل (ثانیه)		گروه با مشخصات $n_1 = 2n_2$ $q_1^i \square [1/2^{\circ} \times p_2^i]$	میانگین تعداد مدت زمان حل (ثانیه)		گروه با مشخصات $2n_1 = n_2$ $q_1^i \square [1/2^{\circ} \times p_2^i]$	میانگین تعداد مدت زمان حل (ثانیه)		گروه با مشخصات $2n_1 = n_2$ $q_1^i \square [1/2^{\circ} \times p_2^i]$	مشخصات مشترک	
n	تعداد نمونه	n	تعداد نمونه	n	تعداد نمونه	n	تعداد نمونه	n	تعداد نمونه	n	تعداد نمونه	n	پارامترها
۰,۱۴	۱۰		۰,۰۶	۱۰	۰,۴۳	۱۰	۰,۴۴	۱۰	۰,۶۰	۱۰	۶۰	$p^1 = 5$	
۱,۸۷	۱۰	G۴۹	۰,۹۲	۱۰	۳,۳۴	۱۰	۰,۵۷	۱۰	G۰۱	۱۰	۱۰۰	$p_t^i \in [1, 1^{\circ}]$	
۲۱,۲۱	۱۰		۱۱,۴۸	۱۰	۲۱,۶۲	۱۰	۳,۰۳	۱۰		۱۰	۱۵۰	$\tau_t = 0,3, R_t = 0,2$	
۰,۹۴	۱۰		۰,۰۵	۱۰	۰,۰۴	۱۰	۰,۰۲	۱۰		۱۰	۶۰	$p^1 = 5$	
۱۹,۵۵	۱۰	G۵۰	۳,۹۹	۱۰	۰,۱۳	۱۰	۰,۰۷	۱۰	G۰۲	۱۰	۱۰۰	$p_t^i \in [1, 1^{\circ}]$	
۲۰۴,۵۷	۱۰		۵۲,۸۶	۱۰	۰,۴۷	۱۰	۰,۳۹	۱۰		۱۰	۱۵۰	$\tau_t = 0,3, R_t = 0,6$	
۲,۵۷	۱۰		۰,۰۶	۱۰	۱۰,۱۷	۱۰	۰,۱۴	۱۰		۱۰	۶۰	$p^1 = 5$	
۱۰۵,۸۱	۱۰	G۵۱	۲,۶۰	۱۰	۷۲۵,۱۷	۹	۲,۰۸	۱۰	G۰۳	۱۰	۱۰۰	$p_t^i \in [1, 1^{\circ}]$	
۷۸۵,۴۹	۱۰		۱۰,۲۰	۱۰	—	۰	۲۵,۸۰	۱۰		۱۰	۱۵۰	$\tau_t = 0,7, R_t = 0,2$	
۱,۸۴	۱۰		۰,۰۷	۱۰	۳۵,۳۵	۱۰	۰,۰۴	۱۰		۱۰	۶۰	$p^1 = 5$	
۵۱,۸۸	۱۰	G۵۲	۰,۸۸	۱۰	۹۰۳,۷۵	۹	۱,۱۹	۱۰	G۰۴	۱۰	۱۰۰	$p_t^i \in [1, 1^{\circ}]$	
۵۰۲,۳۷	۷		۱۰,۷۱	۱۰	۹۲۹,۸۷	۴	۱۲,۴۷	۱۰		۱۰	۱۵۰	$\tau_t = 0,7, R_t = 0,6$	
۰,۱۸	۱۰		۰,۰۳	۱۰	۰,۷۸	۱۰	۰,۰۹	۱۰		۱۰	۶۰	$p^1 = 5$	
۴,۵۸	۱۰	G۵۳	۰,۴۰	۱۰	۱۸,۱۷	۱۰	۰,۷۵	۱۰	G۰۵	۱۰	۱۰۰	$p_t^i \in [1, 1^{\circ}]$	
۶۱,۰۴	۱۰		۳,۵۶	۱۰	۸۸,۰۹	۱۰	۶,۵۹	۱۰		۱۰	۱۵۰	$\tau_t = 0,3, R_t = 0,2$	
۰,۰۳	۱۰		۰,۰۱	۱۰	۰,۰۸	۱۰	۰,۰۳	۱۰		۱۰	۶۰	$p^1 = 5$	
۰,۱۷	۱۰	G۵۴	۰,۰۵	۱۰	۰,۱۹	۱۰	۰,۰۹	۱۰	G۰۶	۱۰	۱۰۰	$p_t^i \in [1, 1^{\circ}]$	
۳,۷۱	۱۰		۰,۵۱	۱۰	۳,۳۲	۱۰	۰,۳۱	۱۰		۱۰	۱۵۰	$\tau_t = 0,3, R_t = 0,6$	
۰,۷۰	۱۰		۰,۰۵	۱۰	۱,۷۳	۱۰	۰,۱۶	۱۰		۱۰	۶۰	$p^1 = 5$	
۱۶,۶۸	۱۰	G۵۵	۰,۹۲	۱۰	۳۴,۲۰	۱۰	۱,۲۰	۱۰	G۰۷	۱۰	۱۰۰	$p_t^i \in [1, 1^{\circ}]$	
۱۳۲,۷۵	۱۰		۹,۵۹	۱۰	۲۳۴,۶۴	۱۰	۸,۲۱	۱۰		۱۰	۱۵۰	$\tau_t = 0,7, R_t = 0,2$	
۰,۳۱	۱۰		۰,۰۲	۱۰	۱,۳۳	۱۰	۰,۰۸	۱۰		۱۰	۶۰	$p^1 = 5$	
۱۸,۴۰	۱۰	G۵۶	۰,۲۱	۱۰	۶۵,۵۹	۱۰	۱,۳۳	۱۰	G۰۸	۱۰	۱۰۰	$p_t^i \in [1, 1^{\circ}]$	
۱۳۱,۴۳	۱۰		۶,۳۷	۱۰	۴۵۷,۳۶	۱۰	۹,۹۳	۱۰		۱۰	۱۵۰	$\tau_t = 0,7, R_t = 0,6$	
۰,۲۴	۱۰		۰,۳۱	۱۰	۰,۸۱	۱۰	۰,۲۷	۱۰		۱۰	۶۰	$p^1 = 5$	
۱۸,۴۷	۱۰	G۵۷	۴,۱۲۶	۱۰	۹,۳۶	۱۰	۷,۵۴	۱۰	G۰۹	۱۰	۱۰۰	$p_t^i \in [1, 1^{\circ}]$	
۸۳,۲۶	۱۰		۱۵۵,۳۴	۱۰	۸۲,۳۹	۱۰	۵۴,۶۴	۱۰		۱۰	۱۵۰	$\tau_t = 0,3, R_t = 0,2$	
۲,۲۰	۱۰		۱,۱۰	۱۰	۱,۸۹	۱۰	۱,۰۷	۱۰		۱۰	۶۰	$p^1 = 5$	
۱۰۹,۹۱	۱۰	G۵۸	۱۲۶,۲۶	۱۰	۴۰۹,۹۰	۱۰	۷۷,۱۶	۱۰	G۱۰	۱۰	۱۰۰	$p_t^i \in [1, 1^{\circ}]$	
۱۱۱۰,۷۱	۱۰		۵۵۷,۸۵	۶	۱۰,۲۵	۵	۱۲۰۴,۶۹	۹		۱۰	۱۵۰	$\tau_t = 0,3, R_t = 0,6$	
۲,۴۱	۱۰		۰,۳۸	۱۰	۳,۴۶	۱۰	۱,۲۸	۱۰		۱۰	۶۰	$p^1 = 5$	
۸۷,۵۵	۱۰	G۵۹	۱۱,۸۳	۱۰	۶۶۷,۳۱	۱۰	۱۶,۴۷	۱۰	G۱۱	۱۰	۱۰۰	$p_t^i \in [1, 1^{\circ}]$	
۱۰۲۵,۴۴	۸		۶۳۹,۸۰	۱۰	۲۹۰۹,۵۳	۱	۳۰۱,۵۰	۹		۱۰	۱۵۰	$\tau_t = 0,7, R_t = 0,2$	
۴,۰۹	۱۰		۰,۵۷	۱۰	۵۹,۰۰	۱۰	۱,۴۳	۱۰		۱۰	۶۰	$p^1 = 5$	
۲۸۴,۹۰	۱۰	G۶۰	۳,۴۱	۱۰	۱۱۴۵,۱۰	۲	۳۳,۵۹	۱۰	G۱۲	۱۰	۱۰۰	$p_t^i \in [1, 1^{\circ}]$	
۱۸۹۲,۱۷	۶		۱۱۸۶,۷۷	۶	—	۰	۳۸۳,۴۴	۱۰		۱۰	۱۵۰	$\tau_t = 0,7, R_t = 0,6$	
۰,۴۳	۱۰		۰,۱۰	۱۰	۰,۸۸	۱۰	۰,۱۳	۱۰		۱۰	۶۰	$p^1 = 5$	
۲۰,۲۰	۱۰	G۶۱	۵,۷۳	۱۰	۵۰,۴۴	۱۰	۲,۸۶	۱۰	G۱۳	۱۰	۱۰۰	$p_t^i \in [1, 1^{\circ}]$	
۳۲۲,۶۲	۵		۱۴۳,۶۱	۱۰	۲۱۷,۱۳	۱۰	۱۹,۴۴	۱۰		۱۰	۱۵۰	$\tau_t = 0,3, R_t = 0,2$	
۰,۴۲	۱۰		۰,۲۲	۱۰	۰,۱۰	۱۰	۰,۰۴	۱۰		۱۰	۶۰	$p^1 = 5$	
۳۷,۸۴	۱۰	G۶۲	۷,۲۹	۱۰	۰,۴۸	۱۰	۱,۷۴	۱۰	G۱۴	۱۰	۱۰۰	$p_t^i \in [1, 1^{\circ}]$	
۴۵۰,۵۵	۱۰		۱۷۹,۲۱	۸	۲,۳۷	۱۰	۹,۷۳	۱۰		۱۰	۱۵۰	$\tau_t = 0,3, R_t = 0,6$	
۵,۶۹	۱۰		۰,۲۶	۱۰	۱۱۰,۴۲	۱۰	۱,۱۲	۱۰		۱۰	۶۰	$p^1 = 5$	
۱۸۴,۴۷	۱۰	G۶۳	۸,۲۵	۱۰	۱۴۹۳,۷۱	۵	۱۵,۸۴	۱۰	G۱۵	۱۰	۱۰۰	$p_t^i \in [1, 1^{\circ}]$	
۱۵۷۱,۶۵	۸		۸۳,۷۸	۱۰	—	۰	۵۹۲,۳۹	۹		۱۰	۱۵۰	$\tau_t = 0,7, R_t = 0,2$	
۳,۳۰	۱۰		۰,۱۱	۱۰	۱۲۷,۲۶	۱۰	۰,۲۴	۱۰		۱۰	۶۰	$p^1 = 5$	
۱۷۷,۲۰	۸	G۶۴	۳,۳۳	۱۰	۱۴۶۴,۵۰	۲	۳,۸۵	۱۰	G۱۶	۱۰	۱۰۰	$p_t^i \in [1, 1^{\circ}]$	
۹۱۶,۱۰	۵		۵۸,۵۰	۱۰	—	۰	۱۰۴,۷۲	۱۰		۱۰	۱۵۰	$\tau_t = 0,7, R_t = 0,6$	

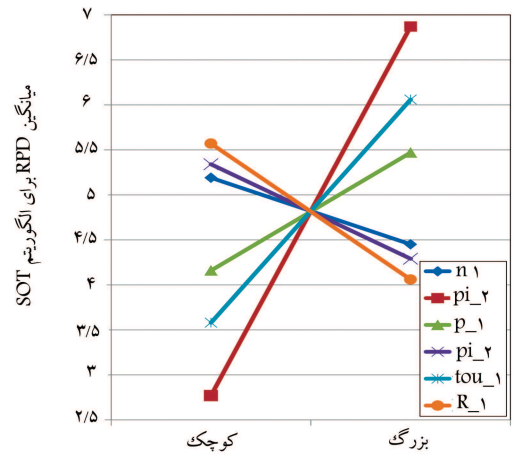
ادامه‌ی جدول ۴. نتایج جزئی حل به‌ازای گروه‌های G۰۱ تا G۶۴.

گروه	مقادیر پارامترها					میانگین	فاز اول: میانگین درصد حالات				فاز دوم: میانگین درصد حالات					
	n_i	q_i^*	p_i	p_i^*	τ_2		R_2	حذف شده به دلیل		حذف شده به دلیل		حذف شده به دلیل				
								بررسی شده	اصل	بررسی شده	اصل	بررسی شده	اصل			
G۴۹	۳۰	۰٫۲	۰٫۳	۰٫۲	۰٫۲	۴٫۶۷	۷٫۷۴	۸٫۲۹	۸٫۱۴	۸۹٫۴۳	۲٫۴۳	۹۱٫۷۱	۰٫۰۰	۵۵٫۵۶	۳۵٫۸۰	۸٫۶۴
G۵۰	۳۰	۰٫۶	۰٫۳	۰٫۲	۰٫۲	۳٫۷۰	۷۵٫۰۲	۷٫۶۶	۷٫۴۷	۸۹٫۶۹	۲٫۸۴	۹۲٫۳۴	۰٫۰۰	۵۹٫۰۶	۳۲٫۳۰	۸٫۶۴
G۵۱	۲۷	۰٫۲	۰٫۷	۰٫۲	۰٫۲	۸٫۰۵	۲۴۳٫۷۹	۰٫۹۷	۲٫۷۲	۹۲٫۸۵	۴٫۴۳	۹۹٫۰۳	۰٫۰۰	۴۲٫۳۰	۴۲٫۲۱	۱۵٫۴۹
G۵۲	۳۰	۰٫۶	۰٫۳	۰٫۲	۰٫۲	۶٫۲۴	۱۸۵٫۳۶	۰٫۹۸	۲٫۵۸	۹۳٫۲۴	۴٫۱۹	۹۹٫۰۲	۰٫۰۷	۶۴٫۴۴	۲۲٫۸۶	۱۲٫۶۳
G۵۳	۳۰	۰٫۲	۰٫۳	۰٫۲	۰٫۲	۵٫۴۹	۲۱٫۹۳	۱٫۹۷	۱۴٫۵۱	۸۰٫۶۱	۴٫۸۸	۹۸٫۰۳	۰٫۰۱	۶۴٫۱۲	۲۷٫۲۹	۸٫۵۸
G۵۴	۳۰	۰٫۶	۰٫۳	۰٫۲	۰٫۲	۱٫۵۱	۱۴٫۵۲	۱٫۳۰	۲۸٫۲۲	۶۹٫۱۸	۲٫۶۰	۸۵٫۴۸	۰٫۰۰	۸۰٫۸۷	۱۰٫۴۰	۸٫۷۳
G۵۵	۳۰	۰٫۲	۰٫۷	۰٫۲	۰٫۲	۷٫۴۳	۵۰٫۰۴	۱٫۸۸	۵٫۹۹	۸۹٫۴۳	۴٫۵۸	۹۸٫۱۲	۱٫۴۰	۵۸٫۱۶	۲۸٫۹۶	۱۱٫۴۹
G۵۶	۳۰	۰٫۶	۰٫۳	۰٫۲	۰٫۲	۴٫۶۵	۵۰٫۰۴	۵٫۰۰	۸٫۸۵	۸۶٫۴۲	۴٫۷۳	۹۵٫۸۰	۱٫۲۳	۷۱٫۴۳	۱۶٫۲۵	۱۱٫۰۹
G۵۷	۳۰	۰٫۲	۰٫۳	۰٫۲	۰٫۲	۵٫۹۷	۳۳٫۹۹	۷٫۳۷	۷٫۴۲	۹۰٫۵۶	۲٫۰۲	۹۲٫۶۳	۰٫۰۰	۲۳٫۰۷	۶۸٫۰۹	۸٫۸۴
G۵۸	۲۸	۰٫۶	۰٫۳	۰٫۲	۰٫۲	۵٫۸۷	۳۵۷٫۳۹	۷٫۷۵	۷٫۴۳	۹۰٫۴۳	۲٫۱۴	۹۲٫۲۵	۰٫۰۰	۲۵٫۳۲	۶۵٫۵۸	۹٫۱۰
G۵۹	۲۶	۰٫۲	۰٫۳	۰٫۲	۰٫۲	۶٫۵۲	۲۷۱٫۲۴	۱٫۰۱	۵٫۸۷	۹۰٫۹۹	۳٫۱۴	۹۸٫۹۹	۰٫۰۰	۲۲٫۸۰	۶۰٫۲۳	۱۶٫۹۷
G۶۰	۲۵	۰٫۶	۰٫۳	۰٫۲	۰٫۲	۷٫۱۱	۴۹۴٫۰۳	۰٫۷۰	۵٫۷۳	۹۰٫۸۰	۳٫۴۶	۹۹٫۳۰	۰٫۰۰	۳۰٫۳۷	۵۳٫۸۲	۱۵٫۸۱
G۶۱	۳۰	۰٫۲	۰٫۳	۰٫۲	۰٫۲	۴٫۹۹	۱۱۴٫۴۲	۴٫۳۱	۸٫۱۳	۸۸٫۹۳	۲٫۹۴	۹۵٫۶۹	۰٫۰۰	۵۳٫۷۷	۳۶٫۲۵	۹٫۹۸
G۶۲	۲۸	۰٫۶	۰٫۳	۰٫۲	۰٫۲	۳٫۳۰	۱۴۲٫۳۹	۵٫۴۹	۸٫۷۹	۸۸٫۳۷	۲٫۸۴	۹۴٫۵۱	۰٫۰۰	۶۵٫۶۳	۲۴٫۶۰	۹٫۷۸
G۶۳	۲۳	۰٫۲	۰٫۳	۰٫۲	۰٫۲	۶٫۸۱	۴۰۸٫۳۰	۰٫۹۶	۲٫۹۸	۹۱٫۷۶	۵٫۲۶	۹۹٫۰۴	۰٫۰۰	۴۶٫۹۷	۳۵٫۶۱	۱۷٫۴۳
G۶۴	۲۷	۰٫۶	۰٫۳	۰٫۲	۰٫۲	۶٫۲۷	۳۰۴٫۳۶	۱٫۲۸	۳٫۴۱	۹۱٫۹۴	۴٫۶۵	۹۸٫۷۲	۰٫۰۴	۶۶٫۸۷	۱۹٫۵۴	۱۳٫۵۵
میانگین						۴٫۸۲	۱۲۰٫۷	۳٫۸۴	۱۸٫۰	۷۶٫۴	۵٫۵۶	۹۶٫۱۶	۰٫۱۴	۵۳٫۶	۳۷٫۴	۸٫۷۸

$$n_i = \tau_{n_i} q_i^* \left[\sqrt{p_i^*} \times p_i^* \right]$$

مندرج در جدول ۴ مؤید این مسئله است. براساس این جدول حدود بالای ارائه شده نیز عملکرد مناسبی از خود نشان داده‌اند. لذا در فاز اول و دوم به ترتیب به طور میانگین 94.45% ($18.02\% + 76.43\%$) و 91.08% ($53.64\% + 37.44\%$) از حالت‌های بررسی شده توسط اصول غلبه و حدود بالای مربوطه حذف شده است.

همچنین در شکل ۵، اثرات متقابل سه پارامتر n_i ، q_i^* و τ_2 به دلیل نمود بیشتر در بین سایر اثرات متقابل، نشان داده شده است. بر این اساس هنگامی که تعداد سفارش عامل اول در سطح Low بوده و درآمد عامل دوم در سطح High است مسائل سخت‌تر بوده و درصد کم‌تری از آنها در 360° ثانیه به‌طور بهینه حل شده‌اند. همین رفتار هنگامی که تعداد سفارش عامل اول و τ_2 به ترتیب در سطح Low و High هستند، تکرار شده است. همچنین با قرارگیری درآمد عامل دوم و τ_2 هر دو در سطح High، نیز درصد مسائل کم‌تری به‌طور بهینه حل شده‌است. زیرا در این دو مورد، شرایط برقراری اصل غلبه‌ی ۲ کم‌تر شده و از این رو تعداد کم‌تری از حالت‌های فضای حالت شماره‌ی ۲ حذف می‌شوند.

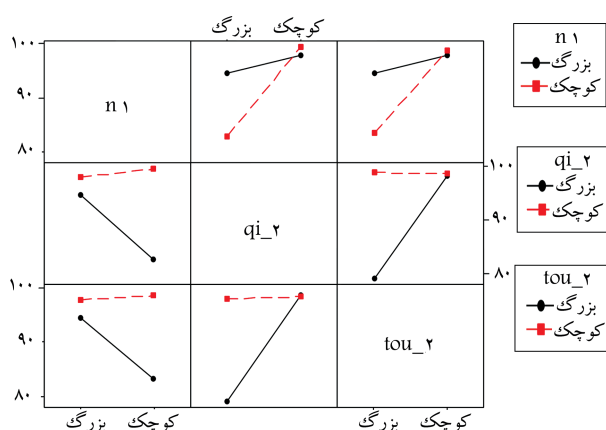


شکل ۴. میانگین درصد خطای الگوریتم SOT به‌ازای پارامترهای مختلف تولید مسئله.

سفارشات پذیرفته شده، برای تعیین توالی بهینه یک الگوریتم چندجمله‌ی ارائه شد. برای حل مسئله‌ی اصلی نیز یک الگوریتم ابتکاری کارآمد و یک برنامه‌ریزی پویای شبه‌چندجمله‌ی ارائه شد.

به‌منظور بررسی عملکرد این الگوریتم‌ها تعدادی مسئله‌ی نمونه تولید و حل شده است. برای تحلیل اثر پارامترهای مختلف حاضر در تولید مسائل نمونه نیز از روش تحلیل واریانس بهره گرفته شده است. نتایج حل حاکی از توانایی الگوریتم DP1 در حل بهینه‌ی ۹۳/۶۵٪ از مسائل نمونه در محدوده‌ی ۳۶۰۰ ثانیه است. همچنین الگوریتم ابتکاری نیز عملکرد قابل قبولی از خود به نمایش گذاشته به‌طوری که میانگین درصد انحراف نسبی آن از جواب بهینه در کل مسائل بهینه حل شده برابر ۴/۸۲٪ است.

برای مطالعات آتی، به‌دلیل NP-hard بودن مسئله‌ی بررسی شده در این نوشتار، می‌توان از الگوریتم‌های فراابتکاری برای حل آن استفاده کرد و از برنامه‌ریزی پویای ارائه شده در این نوشتار برای بررسی کیفیت جواب آنها استفاده کرد. همچنین از آنجا که مسائل پذیرش و زمان‌بندی سفارشات و زمان‌بندی چندعاملی به‌طور جداگانه اهمیت فراوانی در ادبیات موضوع دارند و در این نوشتار نیز بیان شد که ترکیب آنها، یک مسئله‌ی کاربردی‌تر را پدید می‌آورد. لذا حل این مسئله تحت فرضیات متنوع و بیشتری قابل بررسی است. برای مثال می‌توان تعداد عامل‌ها یا در حقیقت انواع مشتریان را بیش از دو عامل در نظر گرفت. بررسی مسئله براساس توابع جریمه‌ی دیگری نظیر دیرکرد وزنی نیز می‌تواند جالب توجه باشد.



شکل ۵. اثرات متقابل n_1 ، q_i^2 و τ_2 بر درصد مسائل بهینه‌ی حل شده.

۵. نتیجه‌گیری

در این مقاله مسئله‌ی دوعاملی پذیرش و زمان‌بندی سفارشات با هدف بیشینه‌سازی سود سفارشات پذیرفته شده مطرح شد. این مسئله با فرض برابر بودن زمان پردازش سفارشات عامل اول و مجاز نبودن دیرکرد سفارشات عامل دوم مورد بررسی قرار گرفت. نشان داده شد که این مسئله NP-hard بوده و با فرض معلوم بودن

پانوشتها

1. order acceptance and scheduling
2. multi-agent scheduling
3. scheduling with competing agents
4. beam search
5. greedy
6. fully polynomial time approximation scheme
7. mixed integer linear programming
8. jobshop
9. branch and price
10. two machine flowshop
11. regular function
12. deteriorating jobs
13. makespan
14. hybrid kangaroo simulated annealing
15. batch
16. rounding procedure
17. sequencing accepted orders
18. earliest due date
19. selecting one order at a time
20. largest due date
21. full factorial experimental design
22. analysis of variance
23. treatment
24. confidence level

25. interaction effects
26. relative percentage deviation

منابع (References)

1. Slotnick, S.A. "Order acceptance and scheduling: A taxonomy and review", *European Journal of Operational Research*, **212**, pp. 1-11 (2011).
2. Slotnick, S.A. and Morton, T.E. "Selecting jobs for a heavily loaded shop with lateness penalties", *Computers and Operations Research*, **23**, pp. 131-140 (1996).
3. Ghosh, J.B. "Job selection in a heavily loaded shop", *Computers and Operations Research*, **24**, pp. 141-145 (1997).
4. Slotnick, S.A. and Morton, T.E. "Order acceptance with weighted tardiness", *Computers and Operations Research*, **34**, pp. 3029-3042 (2007).
5. Rom, W.O., and Slotnick, S.A. "Order acceptance using genetic algorithms", *Computers and Operations Research*, **36**, pp. 1758-1767 (2009).
6. Nobibon, F.T. and Leus, R. "Exact algorithms for a generalization of the order acceptance and scheduling prob-

- lem in a single-machine environment”, *Computers and Operations Research*, **38**, pp. 367-378 (2011).
7. Yang, B. and Geunes, J. “A single resource scheduling problem with job-selection flexibility, tardiness costs and controllable processing times”, *Computers and Industrial Engineering*, **53**, pp. 420-432 (2007).
 8. Mestry, S., Damodaran, P. and Chen, C.S. “A branch and price solution approach for order acceptance and capacity planning in make-to-order operations”, *European Journal of Operational Research*, **211**, pp. 480-495 (2011).
 9. Shabtay, D. and Gasper, N. “Two-machine flow-shop scheduling with rejection”, *Computers and Operations Research*, **39**, pp. 1087-1096 (2012).
 10. Graham, R.L., Lawler, E.L., Lenstra, J.K. and Rinnooy Kan, A.H.G. “Optimization and approximation in deterministic machine scheduling: A survey”, *Annals of Discrete Mathematics*, **5**, pp. 287-326 (1979).
 11. Agnetis, A., Mirchandani, P.B., Pacciarelli, D. and Pacifici, A. “Scheduling problems with two competing agents”, *Operations Research*, **52**, pp. 229-242 (2004).
 12. Cheng, T.C.E., Ng, C.T. and Yuan, J.J. “Multi-agent scheduling on a single machine to minimize total weighted number of tardy jobs”, *Theoretical Computer Science*, **362**, pp. 273-281 (2006).
 13. Liu, P. and Tang, L. “Two-agent scheduling with linear deteriorating jobs on a single machine”, *Computing and Combinatorics, Lecture Notes in Computer Science*, **5092**, X. Hu, and J. Wang (eds.), Springer Berlin Heidelberg, pp. 642-650 (2008).
 14. Agnetis, A., Pascale, G.D. and Pacciarelli, D. “A lagrangian approach to single-machine scheduling problems with two competing agents”, *Journal of Scheduling*, **12**, pp. 401-415 (2009).
 15. Soltani, R., Jolai, F. and Zandieh, M. “Two robust meta-heuristics for scheduling multiple job classes on a single machine with multiple criteria”, *Expert Systems with Applications*, **37**, pp. 5951-5959 (2010).
 16. Lee, W.C., Chen, S.K. and Wu, C.C. “Branch-and-bound and simulated annealing algorithms for a two-agent scheduling problem”, *Expert Systems with Applications*, **37**, pp. 6594-6601 (2010).
 17. Lee, W.C., Chen, S.K., Chen, C.W. and Wu, C.C. “A two-machine flowshop problem with two agents”, *Computers and Operations Research*, **38**, pp. 98-104 (2011).
 18. Mor, B. and Mosheiov, G. “Scheduling problems with two competing agents to minimize minmax and minimum earliness measures”, *European Journal of Operational Research*, **206**, pp. 540-546 (2010).
 19. Mor, B. and Mosheiov, G. “Single machine batch scheduling with two competing agents to minimize total flowtime”, *European Journal of Operational Research*, **215**, pp. 524-531 (2011).